# Erdsicht - Einblicke in geographische und geoinformationstechnische Arbeitsweisen

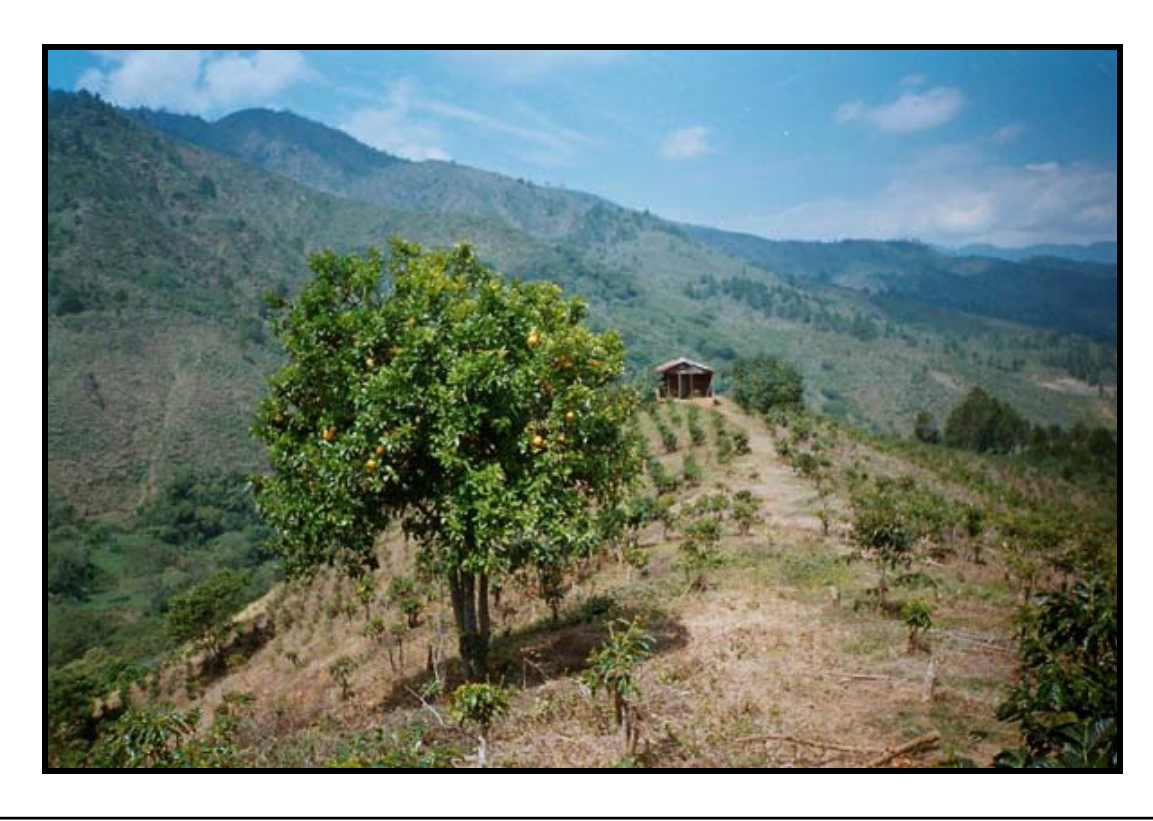
Schriftenreihe des geographischen Instituts der Universität Göttingen, Abteilung Kartographie, GIS und Fernerkundung

Herausgegeben von Prof. Dr. Martin Kappas



# Randy Thomsen

# Change Detection – fernerkundungsgestützte Methoden zur Ableitung des Landnutzungswandels in den Tropen (Fallbeispiel Dominikanische Republik)





ibidem

# Randy Thomsen

# ERDSICHT - EINBLICKE IN GEOGRAPHISCHE UND GEOINFORMATIONSTECHNISCHE ARBEITSWEISEN

Schriftenreihe des Geographischen Instituts der Universität Göttingen, Abteilung Kartographie, GIS und Fernerkundung

Herausgegeben von Prof. Dr. Martin Kappas

ISSN 1614-4716

#### 1 Claudia Sültmann

GIS- und Satellitenbildgestützte Landnutzungsklassifikation mit Change detection im Westen der Côte d'Ivoire ISBN 3-89821-356-0

#### 2 Katharina Feiden

GIS - gestützte Analyse der zeitlichen und räumlichen Verteilung der Niederschlagsjahressummen (1961 - 1990) in der Dominikanischen Republik Charakteristika und Trends ISBN 3-89821-368-4

#### 3 Nicole Erler

GIS- und fernerkundungsgestützte Bewertung von "Natural Hazards" im oberen Einzugsgebiet des Rio Yaque del Norte (Dominikanische Republik) ISBN 3-89821-409-5

### 4 Martin Kappas, Frank Schöggl

Bodenerosion in der Dominikanischen Republik Eine vergleichende Studie zum Bodenabtrag auf Argrarflächen mit und ohne Erosionschutzmassnahmen ISBN 3-89821-423-0

#### 5 Randy Thomsen

Change Detection – fernerkundungsgestützte Methoden zur Ableitung des Landnutzungswandels in den Tropen (Fallbeispiel Dominikanische Republik) ISBN 3-89821-433-8

# Randy Thomsen

# CHANGE DETECTION – FERNERKUNDUNGSGESTÜTZTE METHODEN ZUR ABLEITUNG DES LANDNUTZUNGSWANDELS IN DEN TROPEN (FALLBEISPIEL DOMINIKANISCHE REPUBLIK)

# **Bibliografische Information Der Deutschen Bibliothek**

Die Deutsche Bibliothek verzeichnet diese Publikation in der Deutschen Nationalbibliografie; detaillierte bibliografische Daten sind im Internet über <a href="http://dnb.ddb.de">http://dnb.ddb.de</a> abrufbar.

00

© *ibidem*-Verlag
Stuttgart 2005
Alle Rechte vorbehalten

Das Werk einschließlich aller seiner Teile ist urheberrechtlich geschützt. Jede Verwertung außerhalb der engen Grenzen des Urheberrechtsgesetzes ist ohne Zustimmung des Verlages unzulässig und strafbar. Dies gilt insbesondere für Vervielfältigungen, Übersetzungen, Mikroverfilmungen und elektronische Speicherformen sowie die Einspeicherung und Verarbeitung in elektronischen Systemen.

# Vorwort des Herausgebers:

Die Reihe "Erdsicht – Einblicke in geographische und geoinformationstechnische Arbeitsweisen" soll Forschungsergebnisse und Arbeiten im Bereich der Erdsystemforschung vorstellen. Die Betrachtung der Erde als System ist als Inhalt heutiger und zukünftiger geowissenschaftlicher Gemeinschaftsforschung dringend gefordert. Die Herausforderungen liegen zum einen in der Erforschung der grundlegenden Erdsystemprozesse sowie in der Erforschung der vielfältigen Interaktionen zwischen den verschiedenen Teilbereichen des Systems Erde. Hierzu zählen Wechselwirkungen zwischen fester Erde und Atmosphäre, zwischen der Landoberfläche und der Hydrosphäre oder zwischen Biosphäre, Hydrosphäre und Atmosphäre. Der Mensch steht dabei mit seinen zentralen Nutzungsansprüchen (Ernährung – agrare Landnutzung – Ressourcennutzung) im Mittelpunkt eines vielfach vernetzten Erdsystems. Der Mensch verändert Landschaften und Atmosphäre und greift somit in alle Skalenbereiche des Erdsystems ein. Insofern müssen diese Veränderungen beobachtet und bewertet werden, damit Konzepte für ein nachhaltiges Erdsystemmanagement auf den unterschiedlichen Raum- und Zeitskalen entwickelt werden können. Die neuen Geoinformationstechniken (Geographische Informationssysteme -GIS; luft- und satellitengestützte Fernerkundungssyteme) helfen dabei das System Erde zu beobachten und zu begreifen. Ohne diese Techniken ist eine ganzheitliche Betrachtung der Erde und eine flächenhafte Bereitstellung von Informationen über das Erdsystem nicht möglich.

Die vorliegende Arbeit von Frau Randy Thomsen entstand am Geographischen Institut der Universität Göttingen in der Abteilung Kartographie, GIS & Fernerkundung (Prof. Dr. M. Kappas) und beschäftigt sich mit dem Nachweis zeitlichen Landnutzungswandels in den Bergregionen der Dominikanischen Republik. Neben umfangreichen Feldarbeiten vor Ort, bilden Daten von Fernerkundungssatelliten (Landsat, Ikonos) die Grundlage zur Bewertung des Landschaftswandels. Frau Thomsen bearbeitet im Bereich der Fernerkundung das schwierige Gebiet der "Change Detection". Satellitenbilddaten unterschiedlicher Aufnahmezeiten werden

genutzt, um den Wandel in der Landnutzung quantitativ zu belegen. Dabei kommt es zu vielseitigen Problemen, da Satellitendaten unterschiedlicher Aufnahmezeiten nicht ohne weiteres verglichen werden können, da jeweils andere Aufnahmebedingungen (Bewölkung, Wasserdampfgehalt der Atrmosphäre, phänologische Veränderungen im Jahresverlauf etc.) vorherrschen. Es müssen aufwendige Vorverarbeitungen der Satellitendaten durchgeführt werden, bevor es zu abgesicherten Aussagen zum Landschaftswandel kommt. Die vorliegende Studie ist somit als Grundlagenarbeit im Bereich "Change Detection" zu bewerten.

# Martin Kappas

# Inhaltsverzeichnis

A	bbild	ungsv	erzeichnis	IX
T	abelle	enverz	eichnis	XI
P	hotov	erzeic	hnis	XIII
A	bkürz	zungs	verzeichnis	XIV
1	Ei	nführ	ung	1
	1.1	Pro	blemstellung	1
	1.2	Zie	Isetzung dieser Studie	2
2	Ur	itersu	chungsgebiet	5
	2.1	Geo	ographische Lage	5
	2.2	Geo	ologie und naturräumliche Gliederung	6
	2.2	2.1	Geologie und naturräumliche Gliederung der Dominikanischen Repu	ıblik 6
	2.2	2.2	Das Einzugsgebiet des Río Yaque del Norte	9
	2.3	Kliı	ma der Dominikanischen Republik	12
	2.3	3. <i>1</i>	Klimafaktoren	13
		2.3.1.	l Temperatur	13
		2.3.1.2	2 Niederschlag	13
	2.3	3.2	Tropische Wirbelstürme	15
	2.3	3.3	Das lokale Klima des Untersuchungsgebietes	17
	2.4	Nat	ürliche Vegetation	19
	2.5	Kul	turpflanzen	21
3	La	ndnu	tzung	27
	3.1	Exk	turs: Entwicklung der Landnutzung seit der Kolonialzeit	27
	3.1	1.1	Historische Einflussfaktoren auf Landwirtschaft und Besiedlung	27
	3.1	1.2	Kommerzialisierung der Landwirtschaft	28
	3.2	Def	Forestation	30
	3.3	Akt	uelle Probleme der Landnutzung in der Dominikanischen Republik	32
	3.4	Lan	dnutzung im Untersuchungsgebiet	35
4	Th	eoret	ische Grundlagen der Fernerkundung	37
	4.1	Def	inition	37
	4.2	Auf	fnahmetechnik und Aufnahmeparameter	37
	4.3	Spe	ktralbereiche und Spektralverhalten	39

	4.4	Satellitensysteme	. 42
	4.4.	1 Bedeutende Satellitensysteme	. 42
	4.4.2	2 Landsat	. 43
	4.5	Change Detection	. 46
5	Date	engrundlage und Methodik	. 49
	5.1	Datengrundlage	. 49
	5.2	Geländearbeit/Aufnahme von Trainingsgebieten	. 51
	5.2.	1 Global Postioning System (GPS)	. 51
	5.2.2	2 Auswahl der Trainingsgebiete	. 52
	5.3	Datenbearbeitung	. 53
	5.3.	1 Datenvorverarbeitung (Preprocessing)	. 54
	5.	.3.1.1 Bildverbesserung	. 54
	5.	.3.1.2 Geometrische Entzerrung (Georeferenzierung)	. 55
	5.	.3.1.3 Erstellung einer Wolkenmaske	. 57
	5.	.3.1.4 Definition des Untersuchungsgebietes	. 57
	5.3.2	2 NDVI	. 59
	5.3	3 Klassifikation	. 60
	5.	.3.3.1 Unüberwachte Klassifikation	. 60
	5.	.3.3.2 Überwachte Klassifikation	. 62
		5.3.3.2.1 Interaktive Festlegung der Trainingsgebiete	. 63
		5.3.3.2.2 Auswahl der Eingangskanäle für die überwachte Klassifikation	. 71
	5.3.4	4 Verbesserung der Klassifikationsergebnisse	. 75
	5.3	5 Bestimmung der Klassifikationsgenauigkeit	. 76
	5.3.0	6 Wald-/Nicht-Wald Klassifikation	. 78
	5.4	Change Detection	. 79
	5.5	Zusammenfassung der Arbeitsschritte	. 81
6	Erg	ebnisdarstellung und Interpretation	. 83
	6.1	Ergebnisse der unüberwachten Klassifikation	. 83
	6.2	Ergebnisse der überwachten Klassifikation	. 84
	6.3	Verifizierung der Klassifikationsergebnisse	. 86
	6.3.	I Betrachtung der Trennbarkeit der einzelnen Klassen	. 87
	6.	.3.1.1 Unüberwachte Klassifikation	. 87
	6.	.3.1.2 Überwachte Klassifikation	. 88
	6.3.2	2 Betrachtung der Klassifikationsgenauigkeit	. 91

A	nhang		i
9 Literatur			113
8	Zusan	menfassung und Ausblick	111
	7.2 B	etrachtung der ausgewiesenen Veränderungen	106
	7.1 M	ethodik und Ergebnisse	105
7	Diskus	sion und kritische Betrachtung	105
	6.4 E	gebnisse der Change Detection	100
	6.3.2	2.2 Klassifikationsgenauigkeit der überwachten Klassifikation	94
	6.3.2	2.1 Klassifikationsgenauigkeit der unüberwachten Klassifikation	92

# Abbildungsverzeichnis

Abb. 1:	Die Dominikanische Republik
Abb. 2:	Zeiträume der Entstehung der geologischen Einheiten der Dominikanischer Republik
Abb. 3:	Die Gebirgszüge der Dominikanischen Republik und ihre höchsten Erhebungen8
Abb. 4:	Die geologischen Einheiten des Untersuchungsgebietes
Abb. 5:	Isothermen der Monate Januar und August in der Dominikanischen Republik . 13
Abb. 6:	Durchschnittliche Jahressummen der Niederschläge in der Dominikanischer
	Republik
Abb. 7:	Schematisierter Vertikalschnitt durch einen tropischen Wirbelsturm
Abb. 8:	Jahresverlauf der monatlichen Mittelwerte von Niederschlag, Evaporation und
	Temperatur in den Jahren 1968-1988 an der Station Las Taveras (300m ü. NN)
Abb. 9:	Jahresverlauf der monatlichen Mittelwerte von Niederschlag, Evaporation und
	Temperatur in den Jahren 1968-1988 an der Station Jarabacoa (529m ü. NN). 18
Abb. 10:	Vegetationsformationen der Dominikanischen Republik
Abb. 11:	Abnahme der Waldfläche in der Dominikanischen Republik (in Prozent) 30
Abb. 12:	Deckung des nationalen Energiebedarfs nach unterschiedlichen Energieträgern.
Abb. 13:	Spektrale Charakteristik von a) Energiequellen, b) atmosphärischer Transmis-
	sion und c) verschiedenen Fernerkundungssystemen
Abb. 14:	Spektrale Reflexion von Vegetation, Boden und Wasser
Abb. 15:	Schematische Darstellung der Aufnahme mit dem MSS-System der Landsat-
A11 16	Satelliten 45
ADD. 16:	Subset der Landsat-7-Szene vom 25.09.2000 mit Markierung des Untersu-
A 1-1- 17-	chungsgebietes, Kanalkombination 3-2-1
Abb. 17:	Subset der Landsat-5-Szene vom 20.01.1986 mit Markierung des Untersu-
A11 10	chungsgebietes, Kanalkombination 3-2-1
Abb. 18:	Untersuchungsgebiet der Landsat-7-Szene vom 25.09.2000 in der Kanalkombi-
A 1.1. 10	nation 5-4-3.
ADD. 19:	Untersuchungsgebiet der Landsat-5-Szene vom 20.01.1986 in der Kanalkombi-
A b.b. 20	nation 5-4-3. 58  Mittlers Crowyerts der Trainingsgebiete der überwechten Klassifikation 2000 73
AUU. 2U.	Mittlere Grauwerte der Trainingsgebiete der überwachten Klassifikation 2000.73

Abb. 21:	Mittlere Grauwerte der Trainingsgebiete der überwachten Klassifikation 1986.74		
Abb. 22:	Zusammenfassende Darstellung der methodischen Arbeitsschritte		
Abb. 23:	Ergebnis der unüberwachten Klassifikation der Landsat-7-Szene vom		
	25.09.2000 nach Anwendung des SIEVE-Filters mit der Polygongröße 4 83		
Abb. 24:	Ergebnis der unüberwachten Klassifikation der Landsat-5-Szene vom		
	20.01.1986 nach Anwendung des SIEVE-Filters mit der Polygongröße 4 84		
Abb. 25:	Ergebnis der überwachten Klassifikation der Landsat-7-Szene vom 25.09.2000		
	nach Anwendung des SIEVE-Filters mit der Polygongröße 4		
Abb. 26:	Ergebnis der überwachten Klassifikation der Landsat-5-Szene vom 20.01.1986		
	nach Anwendung des SIEVE-Filters mit der Polygongröße 4		
Abb. 27:	Landnutzungsveränderung im Untersuchungsgebiet im Zeitraum von 1996-2000		

# **Tabellenverzeichnis**

Tab. 1:	Hangneigungsstufen im oberen Einzugsgebiet des Río Yaque del Norte	11
Tab. 2:	Ökophysiologische Anbaubedingungen von Kaffee	22
Tab. 3:	Ökophysiologische Anbaubedingungen von Tabak.	23
Tab. 4:	Ökophysiologische Anbaubedingungen von Banane.	24
Tab. 5:	Ökophysiologische Anbaubedingungen von Bohne.	25
Tab. 6:	Ökophysiologische Anbaubedingungen von Mais.	25
Tab. 7:	Ökophysiologische Anbaubedingungen von Maniok.	26
Tab. 8:	Betriebsgrößenstruktur im Agrarsektor, Veränderung 1971-1981	33
Tab. 9:	Betriebsgrößenstruktur im Untersuchungsgebiet	36
Tab. 10:	Eigenschaften von LANDSAT 1-3	43
Tab. 11:	Eigenschaften von LANDSAT 4-5.	44
Tab. 12:	Eigenschaften von LANDSAT 7	44
Tab. 13:	Anwendungspotential der TM- und ETM+-Kanäle	46
Tab. 14:	Datengrundlage.	49
Tab. 15:	Visuell unterscheidbare Eigenschaften der Trainingsklassen 2000 (Kanalk	ombi-
	nation 5-4-3)	70
Tab. 16:	Visuell unterscheidbare Eigenschaften der Trainingsklassen 1986 (Kanalk	ombi-
	nation 5-4-3)	70
Tab. 17:	Trainingsklassen für die überwachte Klassifikation 2000.	71
Tab. 18:	Trainingsklassen für die überwachte Klassifikation 1986.	71
Tab. 19:	Ergebnis der unüberwachten Klassifikation 2000.	83
Tab. 20:	Ergebnis der unüberwachten Klassifikation 1986.	84
Tab. 21:	Ergebnis der überwachten Klassifikation 2000.	85
Tab. 22:	Ergebnis der überwachten Klassifikation 1986.	86
Tab. 23:	Trennbarkeit der spektralen Signaturen (nach Bhattacharrya Distance	e) der
	definierten Trainingsgebiete der überwachten Klassifikation 2000 mit	t acht
	Eingangskanälen	89
Tab. 24:	Trennbarkeit der spektralen Signaturen (nach Bhattacharrya Distance) der	r defi-
	nierten Trainingsgebiete der überwachten Klassifikation 1986 mit ach	t Ein-
	gangskanälen	90
Tab. 25:	Confusion Matrix der unüberwachten Klassifikation der 2000er-Szene (Acc	curacy
	Assessment) nach Anwendung des SIEVE-Filters mit der Polygongröße 4	92

Tab. 26:	Genauigkeitsauswertung der unüberwachten Klassifikation der 2000er-Szene
	(Accuracy Assessment) nach Anwendung des SIEVE-Filters mit der Polygon-
	größe 4
Tab. 27:	Confusion Matrix der unüberwachten Klassifikation der 1986er-Szene (Accuracy
	Assessment) nach Anwendung des SIEVE-Filters mit der Polygongröße 4 93
Tab. 28:	Genauigkeitsauswertung der unüberwachten Klassifikation der 1986er-Szene
	(Accuracy Assessment) nach Anwendung des SIEVE-Filters mit der Polygon-
	größe 4
Tab. 29:	Confusion Matrix der überwachten Klassifikation der 2000er-Szene (Trainings-
	gebiete)95
Tab. 30:	Genauigkeitsauswertung der überwachten Klassifikation der 2000er-Szene
	(Trainingsgebiete)
Tab. 31:	Confusion Matrix der überwachten Klassifikation der 1986er-Szene (Trainings-
	gebiete)95
Tab. 32:	Genauigkeitsauswertung der überwachten Klassifikation der 1986er-Szene
	(Trainingsgebiete)
Tab. 33:	Confusion Matrix der überwachten Klassifikation der 2000er-Szene (Accuracy
	Assessment) nach Anwendung des SIEVE-Filters mit der Polygongröße 4 97
Tab. 34:	Genauigkeitsauswertung der überwachten Klassifikation der 2000er-Szene
	(Accuracy Assessment) nach Anwendung des SIEVE-Filters mit der Polygon-
	größe 4
Tab. 35:	Confusion Matrix der überwachten Klassifikation der 1986er-Szene (Accuracy
	Assessment) nach Anwendung des SIEVE-Filters mit der Polygongröße 4 98
Tab. 36:	Genauigkeitsauswertung der überwachten Klassifikation der 1986er-Szene
	(Accuracy Assessment) nach Anwendung des SIEVE-Filters mit der Polygon-
	größe 4
Tab. 37:	Darstellung der Change Detection Matrix. 102
Tab. 38:	Veränderung der Landnutzung nach Klassen. 102
Tab. 39:	Flächenanteile der verschiedenen Klassen
Tab 40.	Per-Category Kanna-Koeffizient 104

# Photoverzeichnis

Photo 1:	Geschlossener Wald, südwestlich von La Ciénaga	65
Photo 2:	Tayota	67
Photo 3:	Kaffee.	68
Photo 4:	Banane, im Unterwuchs Yams	68
Photo 5:	Ananas	68
Photo 6:	Kaffee ohne Schattenbäume, im Hintergrund Weideflächen, südl.von Man	abao
		69